

III-11 粘性土地盤における各種地震時土圧式の特徴

新東京国際空港公園 正員 松並仁茂

1. まえがき

地震時土圧式は砂質土地盤の場合はともかく粘性土地盤の場合はきのめで不十分であるとされている。これを多少とも補うため、壁面付着力を考慮した簡単な地震時土圧式を導いた。この提案式の特徴と利用の範囲を明確にするため、ソコロフスキイの土圧式を改良した市原らの地震時土圧式（ここでは市原方式といふ）と比較したほか、根入部が粘性土地盤内にある矢板護岸の模型振動実験の結果と比較したが、提案式は实用式としては十分な精度をもつものであることが確かめられた¹⁾。ここでは、粘性土地盤にも広く用いられている道路橋示方書の土圧式について、厳密な結果を与える市原方式および提案式と比較し、实用のうえでの問題点について検討を加えることにした。

2. 粘性土地盤における各種の地震時土圧式の特徴

道路橋示方書に示されている粘性土地盤の地震時土圧式は最も広く用いられている土圧式である。この式はランキン系の土圧式であるため、地盤内に生ずるすべり面や壁面付着力が土圧に与える影響などについては深く考慮されていない。

ここでは、このような事情のあることを十分知りながらも、あえて、この式が示す土圧の算定結果が实用の範囲でのどのような特徴をもつのか確かめようとするものである。

市原方式は算定条件として、常に壁面付着力 C_a を

$C_a = C(\tan \delta / \tan \phi)$ としているが、提案式の場合は仕方に与えられる壁面付着力を考慮している。なお、以下の検討において、便利のため、市原らが用いた表示法をそのまま用いることにする。すなわち、特性長 l 、特性線応力 S をそれぞれ、 $l = c/\gamma$ 、 $S = c$ とおき、 $y' = y/l$ 、 $x' = x/l$ 、 $P'_a = P_a/l^2$ 、 $P_b = P_b/S$ と表わしている。

図-1 は $\beta = 0^\circ$ 、 $\delta = 0^\circ$ の粘性土地盤の受働土圧の分圧を示した。物部の土圧式では震度や地震合成角とのいかんをとらず土圧係数は主働・受働とも、1 であるので、道路橋示方書の土圧は図の $\varepsilon = 0$ の線に乗る。

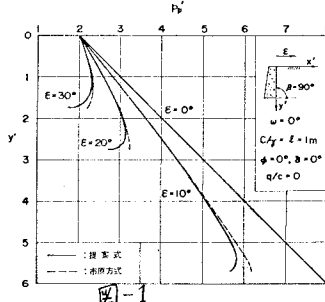


図-1

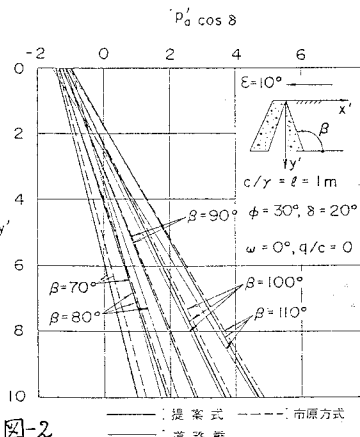


図-2 提案式 市原方式 道路橋

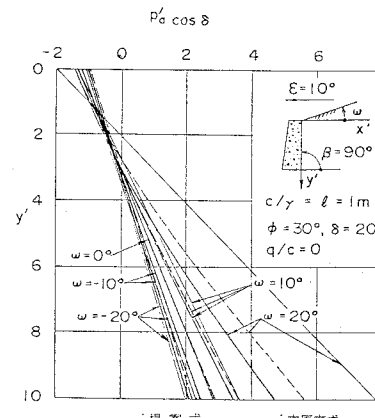


図-3 提案式 市原方式 道路橋

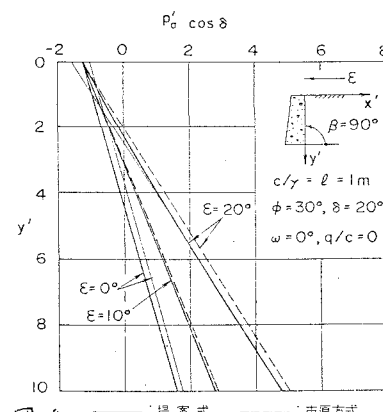


図-4 提案式 市原方式 道路橋

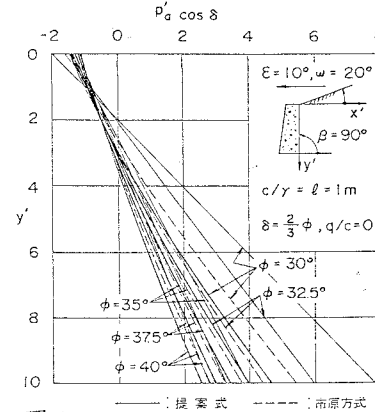


図-5 提案式 市原方式 道路橋

ランキンの土圧式と同一となる。これは市原方式および提案式がともに地盤合成分角の大きさによつて土圧が小さく変化するのと較べると非常に異なる結果を示すといえる。

図-2は壁面の傾斜角 β を変えるときの中間地盤(粘性土地盤の1つでC中材の地盤といふ) 図-6

の地盤時主

動土圧分布

を示す。

$\beta=90^\circ$ の

場合は一致

するが、そ

の他の場合

は $\gamma'=0$ 付

近で大きく

異なるほか、

$\gamma'=10$ では

$\beta=70^\circ$ の

場合は大きく異なる結果となつ

ていく。

図-3は変数を地表面の傾斜角 ω 、図-4は地盤合成分角 δ 、図-5は内部摩擦角 ϕ 、図-6は壁面摩擦角 β とするときの主動土圧、また、図-7は変数を壁面の傾斜角 β 、図-8は地表面の傾斜角 ω 、図-9は地盤合成分角 δ 、図-10は壁面摩擦角 β とするときの受動土圧の分布を示す。

図-11は壁面付着力を零としたときの主動土圧分布であり、図-2の場合に対応するものである。

3.まとめ 以上の検討により、一致の程度がよい場合、範囲を示すと次のようになる。

a. 粘土地盤の場合：道路橋示方書の土圧式は常に常時のランキン土圧とよんで適切な土圧式とはいえない。

b. 中間地盤の場合：(1)主動土圧の場合① $88 \leq \beta \leq 110^\circ$ 、② $-2^\circ \leq \omega \leq 10^\circ$ 、③ $\varepsilon \leq 28^\circ$ 、④ $\delta \leq \phi/2$ 、⑤ $\beta - \omega \geq 80^\circ$ 。

(2)受動土圧の場合 ① $90^\circ \leq \beta \leq 110^\circ$ 、② $-20^\circ \leq \omega \leq 0^\circ$ 、③ $\varepsilon \leq 10^\circ$ 、④ $\delta \leq \phi/2$ 、⑤ $\beta - \omega \geq 90^\circ$ 。

参考文献

1) 松並仁茂：壁面付着力を考慮した簡便な地盤時土圧式とその実験的考察、土木学会論文報告集、第324号、1982年8月。

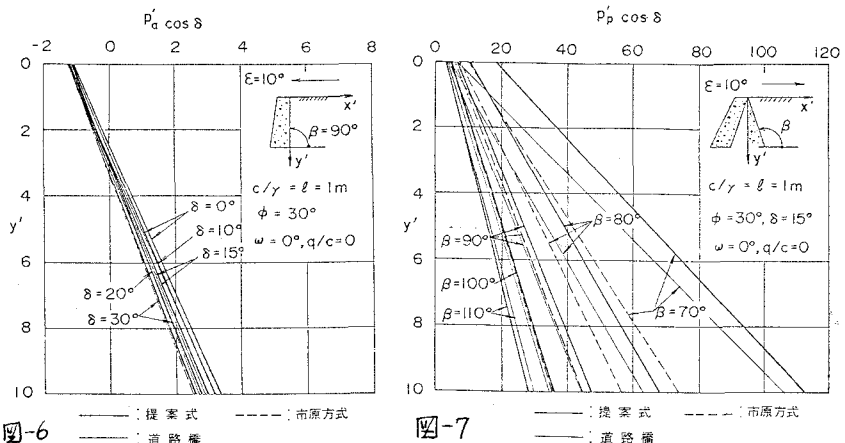


図-6 提案式 市原方式 道路橋

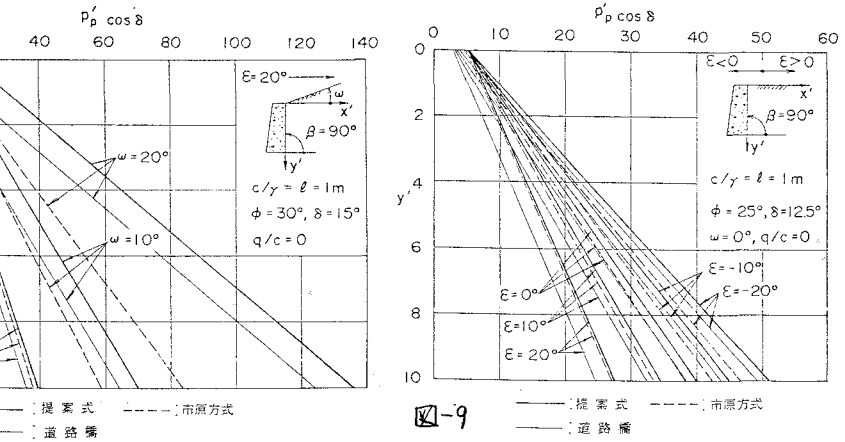


図-7 提案式 市原方式 道路橋

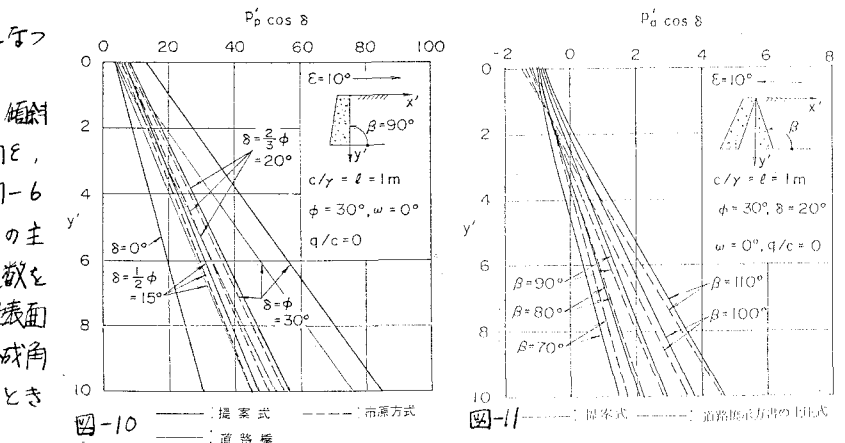


図-8 提案式 市原方式 道路橋

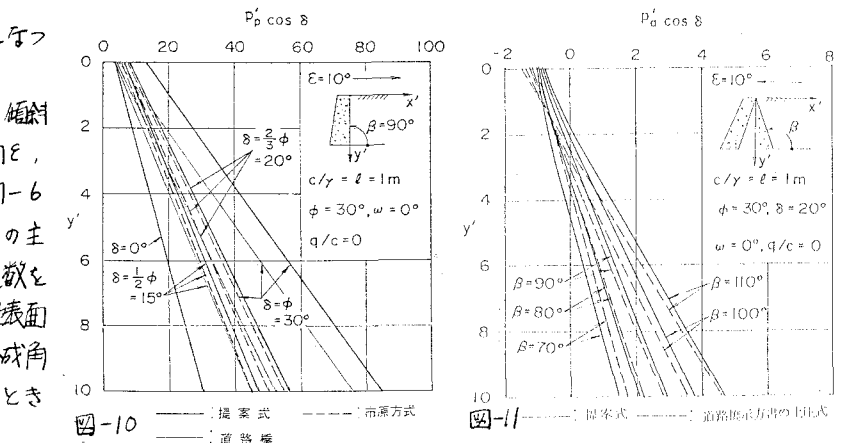


図-9 提案式 市原方式 道路橋

図-10 提案式 市原方式 道路橋

図-11 提案式 市原方式 道路橋示方書の土圧式